

3. ผลการทดลองและวิจารณ์

3.1 เคมี

3.1.1 การแยกสกัด andrographolide (1), 14-deoxy-11,12-didehydroandrographolide (2) and 14-deoxyandrographolide (3)

แยกสารสกัดเมธานอลด้วยคลัมบ์โคมากาโน่ได้สาร andrographolide, 14-deoxy-11,12-didehydroandrographolide และ 14-deoxyandrographolide.

Andrographolide: Yield, 0.25% (25 g); colorless amorphous powder; melting point (m.p.), 230-231 °C in DCM:MeOH, 1:1 (ref. 229-230 °C in methanol, Jain et al., 2000). IR (KBr): 3398, 2928, 1728, 1675, 1459, 1221, 1033 cm⁻¹. ¹H NMR (400 MHz, CD₃OD): δ_H 6.84 (1H, br t, J=7.0 and 6.6 Hz, H-12), 5.00 (1H, d, J=5.9 Hz, H-14), 4.88 (1H, s, H-17a), 4.66 (1H, s, H-17b), 4.46 (1H, dd, J=10.1 and 6.2 Hz, H-15a), 4.15 (1H, dd, J=10.1 and 2.0 Hz, H-15b), 4.11 (1H, d, J=10.9 Hz, H-19a), 3.36 (1H, d, J=11.3 Hz, H-19b), 3.41 (1H, m, H-3), 2.59 (2H, m, H-11), 2.42 (1H, m, H-7a), 2.02 (1H, m, H-7b), 1.92 (1H, dd, J=3.9 Hz, H-9), 1.21 (3H, s, H-18), 0.75 (3H, s, H-20). ¹³C NMR (400 MHz, CD₃OD): δ_C 171.2 (C=O, C-16), 148.0 (CH, C-12), 147.3 (C, C-8), 128.3 (C, C-13), 107.8 (CH₂, C-17), 79.5 (CH, C-3), 74.7 (CH₂, C-15), 65.2 (CH, C-14), 63.5 (CH₂, C-19), 55.9 (CH, C-9), 54.9 (CH, C-5), 42.3 (C, C-4), 38.5 (C, C-10), 37.5 (CH₂, C-7), 36.7 (CH₂, C-1), 27.6 (CH₂, C-2), 24.3 (CH₂, C-11), 23.8 (CH₂, C-6), 21.9 (CH₃, C-18), 14.1 (CH₃, C-20).

14-Deoxy-11,12-didehydroandrographolide: Yield 0.013% (1.3 g); colorless amorphous powder; m.p. 203-204 °C in DCM:MeOH, 1:1 (ref. 203-204 °C in methanol, Matsuda et al., 1994). IR (KBr): 3304, 2927, 1736, 1635, 1447, 1346, 1100, 1038 cm⁻¹. ¹H NMR (400 MHz, CDCl₃): δ_H 7.16 (1H, br s, H-12), 6.86 (1H, dd, J= 10.1 and 9.8 Hz, H-11), 6.11 (1H, d, J=15.6 Hz, H-14), 4.80 (2H, br s, H-15), 4.77 (1H, d, J=1.2 Hz, H-17a), 4.52 (1H, d, J=1.5 Hz, H-17b), 4.21 (1H, d, J=10.9 Hz, H-19a), 3.47 (1H, dd, J=4.7 Hz, H-3), 3.34 (1H, d, J=10.9 Hz, H-19b), 2.43 (1H, dt, J=1.6 and 2.3 Hz, H-7a), 2.31 (1H, d, J=10.1 Hz, H-7b), 2.07 (1H, dt, J=4.7 Hz, H-1), 1.02 (3H, s, H-18), 0.89 (3H, s, H-20). ¹³C NMR (400 MHz, CDCl₃): δ_C 172.3 (C=O, C-16), 148.1 (C,C-8), 142.9 (CH, C-14), 136.0 (CH, C-12), 129.3 (C, C-13), 121.1 (CH, C-11), 109.2 (CH₂, C-17), 80.8 (CH, C-3), 69.6 (CH₂, C-15), 64.2 (CH₂, C-19), 61.7 (CH, C-9), 54.7 (CH, C-5), 43.0 (C, C-4), 38.6 (C, C-10), 38.2 (CH₂, C-7), 36.6 (CH₂, C-1), 28.1 (CH₂, C-2), 23.0 (CH₂, C-6), 22.6 (CH₃, C-18), 15.9 (CH₃, C-20).

14-Deoxyandrographolide: Yield, 0.018% (1.8 g); colorless amorphous powder; m.p. 167-169 °C in DCM:MeOH, 1:1 (ref. 172-173 °C in methanol, Fujita et al., 1984). IR (KBr): 3283, 2930, 1754, 1637, 1439, 1350, 1207, 1091, 1039 cm⁻¹. ¹H NMR (400 MHz, CDCl₃): δ_H 7.08 (1H, br t, H-14), 4.87 (1H, br t, H-17a), 4.76 (2H, br t, H-15), 4.58 (1H, br t, H-17b), 4.16 (1H, d, J=11.0 Hz, H-19a), 3.46 (1H, m, H-3), 3.30 (1H, d, J=11.0 Hz, H-19b), 2.42 (2H, m, H-7), 2.10 (1H, m, H-11a), 1.65 (1H, m, H-11b), 1.02 (3H, s, H-18), 0.89 (3H, s, H-20). ¹³C NMR (400 MHz, CDCl₃): δ_C 174.3 (C=O, C-16), 146.8 (C, C-8), 144.0 (CH, C-14), 134.7 (C, C-13), 107.3 (CH₂, C-17), 80.5 (CH, C-3), 70.1 (CH₂, C-15), 64.2 (CH₂, C-19), 56.0 (CH, C-9), 55.3 (CH, C-5), 42.9 (C, C-4), 39.0 (C, C-10), 38.2 (CH₂, C-7), 36.9 (CH₂, C-1), 28.2 (CH₂, C-2), 24.5 (CH, C-6), 24.0 (CH₂, C-12), 22.7 (CH₃, C-18), 21.9 (CH₂, C-11), 15.2 (CH₃, C-20).

3.1.2 สารคงสัมเคราะห์

รายชื่อสารที่สังเคราะห์ทั้งหมดและการทดสอบอยู่ใน Appendix 3

3,19-Dipalmitoylandrographolide: Yield: 45%; crystalline powder (CH_2Cl_2), mp 182–185°C; R_f 0.52, silica gel 60F₂₅₄, $\text{CH}_2\text{Cl}_2/\text{MeOH}$ (95:5); IR: 3400, 2936, 1726, 1674, 1221, 1022, 980 cm^{-1} ; ^1H NMR (CDCl_3 , 400 MHz) δ_{H} : 6.89 (1H, *t*, *J*=5.3 and 7.0 Hz H-12), 5.0 (1H, *d*, *J*=5.3 Hz, H-14), 4.84 (1H, *s*, H-17a), 4.54 (1H, *s*, H-17b), 4.43 (1H, *d*, *J*=7.9 Hz, H-15a), 4.39 (1H, *dd*, *J*=6.2 Hz, H-15b), 4.23 (1H, *d*, *J*=11.4 Hz, H-19a), 4.11 (1H, *d*, *J*=11.9 Hz, H-19b), 4.18 (1H, *dd*, *J*=1.8 and 10.6 Hz, H-3), 2.48 (1H, *d*, *J*=11.0 Hz, H-7), 2.36 (1H, *d*, *J*=11.4 Hz, H-11a), 2.27 (1H, *d*, *J*=9.2 Hz, H-11b), 2.21 (2H, *m*, H-2', H-2''), 2.14 (1H, *m*, H-9), 1.91 (1H, *dd*, *J*=4.4 and 13.2 Hz, H-6a), 1.54 (1H, *m*, H-6b), 0.94 (3H, *s*, H-18), 0.81 (3H, *s*, H-16'), 0.79 (3H, *s*, H-16''), 0.71 (3H, *s*, H-20); ^{13}C NMR (CDCl_3 , 400 MHz) δ_{C} : 173.7 (C=O, C-1'), 173.4 (C=O, C-1''), 169.8 (C=O, C-16), 148.6 (CH, C-12), 146.4 (C, C-8), 128.1 (C, C-13), 108.9 (CH₂, C-17), 79.5 (CH, C-3), 74.2 (CH, C-15), 66.2 (C-14, CH), 64.6 (C-19, CH₂), 56.0 (C-9, CH), 55.3 (C-5, CH), 41.3 (C, C-4), 39.0 (C, C-10), 37.9 (CH₂, C-7), 37.0 (CH₂, C-1), 24.2 (CH₂, C-11), 24.7 (CH₂, C-2), 24.6 (CH₂, C-6), 34.7 (CH₂, C-2'), 34.5 (CH₂, C-2''), 22.6 (CH₃, C-18), 14.5 (CH₃, C-20), 14.1 (CH₃, C-16', C-16''); EIMS *m/z*: [M+Na]⁺, 850.2999, (calcd 850.6663).

14-deoxy-11,12-didehydro-3,19-dipalmitoyl andrographolide: Yield 50%; amorphous white powder (ethyl acetate); mp 57–61 °C. R_f 0.85, silica gel 60F₂₅₄, 1% methanol in CH_2Cl_2 . IR (KBr): 3080 (very weak, C=C), 2956 (C-H), 2916 (very str, C-H), 2851 (C-H), 1748 (st, C=O), 1727 (very st, C=O), 1472 (m, CH₂), 804 (wk, broad, CH bending of long chain hydrocarbon) cm^{-1} . ^1H NMR (CDCl_3) δ : 7.09 (1H, *s*, H-14), 6.85 (1H, *q*, *J*=9.8 and 15.8 Hz, H-12), 6.05 (1H, *d*, *J*=15.6 Hz, H-11), 4.74 (2H, *s*, H-15), 4.73 (1H, *s*, 17a), 4.53 (1H, *t*, *J*=8.6 and 7.8 Hz, H-3), 4.49 (1H, *s*, H-17b), 4.23 (1H, *d*, *J*=11.7 Hz, H-19a), 4.14 (1H, *d*, *J*=11.7 Hz, H-19b), 0.94 (3H, *s*, H-20), 0.82 (3H, *s*, H-31'), 0.81 (3H, *s*, H-18), 0.79 (3H, *s*, H-31''). ^{13}C NMR (CDCl_3) δ : 172.1 (C16, C=O), 173.7 (C1', C=O), 173.4 (C1'', C=O), 147.9 (C8, C), 143.1 (C14, CH), 135.7 (C12, CH), 129.2 (C13, C), 121.3 (C11, CH), 109.2 (C17, CH₂), 79.7 (C3, CH), 69.5 (C15, CH₂), 64.7 (C19, CH₂), 61.7 (C9, CH), 54.8 (C5, CH), 41.4 (C4, C), 38.7 (C10, C), 38.3 (C7, CH₂), 36.7 (C1, CH₂), 24.2 (C6, CH₂), 24.0 (C2, CH₂), 22.7 (C20, CH₃), 15.2 (C18, CH₃), 14.1 (C16', 16'', CH₃), ESI *m/z*: 882.75.

3,19-isopropylidene andrographolide: Yield 98%; m.p. 194–196 °C; IR (KBr) 3409, 2939, 1785, 1683, 1222 cm^{-1} ; ^1H NMR (400 MHz, CDCl_3): δ_{H} 6.97 (1H, *dt*, *J*=1.5 and 7.0 Hz, H-12), 5.05 (1H, *t*, *J*=5.9 and 6.2 Hz, H-14), 4.91 (1H, *s*, H-17a), 4.62 (1H, *s*, H-17b), 4.45 (1H, *q*, *J*=6.2 and 10.5 Hz, H-15a), 4.26 (1H, *dd*, *J*=2.0 and 10.5 Hz, H-15b), 3.96 (1H, *d*, *J*=11.3 Hz, H-19a), 3.50 (1H, *dd*, *J*=3.1, 3.9 and 8.6 Hz, H-3), 3.18 (1H, *d*, *J*=11.7 Hz, H-19b), 2.57 (2H, *m*, H-11), 2.42 (1H, *m*, H-7a), 2.03 (1H, *m*, H-7b), 1.97 (1H, *m*, H-9), 1.85 (1H, *m*, H-6a), 1.80 (2H, *m*, H-2), 1.74 (1H, *m*, H-1a), 1.41 (3H, *s*, H-22), 1.37 (3H, *s*, H-23), 1.33 (1H, *d*, *J*=4.3 Hz, H-6b), 1.25 (1H, *d*, *J*=4.7 Hz, H-1b), 1.20 (3H, *s*, H-18), 0.97 (3H, *s*, H-20); ^{13}C NMR (400 MHz, CDCl_3): δ_{C} 169.7 (C, C-16), 149.0 (C, C-12), 147.0 (CH, C-8), 127.9 (C, C-13), 108.9 (CH₂, C-17), 99.2 (C, C-21, spiro), 76.1 (CH, C-3), 74.2 (CH₂, C-15), 66.2 (CH, C-14), 63.9 (CH₂, C-19), 56.1 (CH, C-9), 52.2 (CH, C-5), 38.4 (C, C-4), 37.9 (C, C-10), 37.6 (CH₂, C-7), 34.5 (CH₂, C-1), 27.0 (CH₃, C-22), 26.1 (CH₃, C-23), 25.3 (CH₂, C-11), 25.0 (CH₃, C-18), 24.9 (CH₂, C-2), 23.2 (CH₂, C-6), 16.2 (CH₃, C-20); EIMS *m/z*: 412.8[M+Na]⁺

3,14,19-triacetyl andrographolide: The yield was 95%; crystalline powder (CH_2Cl_2), mp 110–111°C, lit 110–111 °C⁸; R_f 0.70, silica gel 60F₂₅₄, 5% methanol in CH_2Cl_2 . IR (KBr): 2954 (m), 1754 (s), 1736 (very s), 1250, 1237 (s). ^1H NMR (CDCl_3): 7.25 (1H, *s*, H-14), 6.99 (1H, *t*, *J*=1.3 and 6.7 Hz, H-12), 5.91 (1H, *d*, *J*=5.7 Hz, H-11), 4.89 (1H, *s*, H-17a), 4.51 (1H, *s*, H-17b), 4.59 (1H, *dd*, *J*=4.0 and 11.7 Hz, H-15a), 4.54 (1H, *dd*, *J*=6.1 and 11.2 Hz, H-15b), 4.23 (1H, *dd*, *J*=1.7 and 11.4 Hz, H-3), 4.34 (1H, *d*, *J*=11.9 Hz, H-19a), 4.11 (1H, *d*, *J*=11.9

Hz, H-19b), 2.11 (3H, Ac), 2.03 (6H, 2Ac), 1.02 (3H, *s*, H-20), 0.74 (3H, *s*, H-18). ^{13}C NMR (CDCl₃): 170.9 (C, C=O (Ac)), 170.5 (C, C=O(Ac)), 170.4 (C, C=O(Ac)), 169.0 (C, C-16), 150.1 (CH, C12), 146.5 (C, C8), 124.0 (C, C13), 108.9 (CH₂, C-17), 79.6 (CH, C-3), 71.6 (CH, C-15), 67.8 (CH, C-14), 64.7 (CH₂, C-19), 55.8 (CH, C-9), 55.2 (CH, C-5), 41.2 (C, C-4), 38.9 (C, C-10), 37.8 (CH₂, C-7), 37.0 (CH₂, C-1), 25.1 (CH₂, C-11), 24.6 (CH₂, C-2), 24.2 (CH₂, C-6), 22.7 (CH₃, C-18), 21.1 (CH₃, Ac), 21.0(CH₃, Ac), 20.7(CH₃, Ac), 14.5(CH₃, C-20). ESI *m/z*: 499.24 (M+Na)⁺

3,14,19-tripalmitoylandrographolide: Yield: 35%; white powder (CH₂Cl₂), mp 61-63°C; R_f 0.86, silica gel 60 F₂₅₄, CH₂Cl₂/MeOH (95:5); IR: 2918, 1735, 1471, 1188, 720 cm⁻¹; ^1H NMR (CDCl₃, 400 MHz) δ_{H} : 6.99 (1H, *t*, J=6.2 Hz, H-12), 5.91 (1H, *d*, J=5.7 Hz, H-14), 4.89 (1H, *s*, H-17a), 4.60 (1H, *dd*, J=4.0 and 11.4 Hz, H-15a), 4.54 (1H, *d*, J=6.2 and 11.0 Hz, H-15b), 4.51 (1H, *s*, H-17b), 4.28 (1H, *d*, J=11.9 Hz, H-19a), 4.21 (1H, *m*, H-3), 4.12 (1H, *d*, J=11.9 Hz, H-19b), 2.44 (1H, *d*, J=13.2 Hz, H-7), 2.39 (2H, *t*, J=7.5 Hz, H-11), 2.27 (1H, *d*, J=10.1 Hz, H-9), 2.11 (2H, *d*, J=2.2 Hz, H-2''), 2.03 (2H, *d*, J=2.2 Hz, H-2'), 1.95 (2H, *d*, J=2.6 Hz, H-2'''), 1.76 (1H, *d*, J=10.1 Hz, H-6), 1.00 (3H, *s*, H-18), 0.89 (3H, *s*, H-16'), 0.87 (3H, *s*, H-16''), 0.85 (3H, *s*, H-16'''), 0.73 (3H, *s*, H-20); ^{13}C NMR (CDCl₃, 400 MHz) δ_{C} : 173.7 (C=O, C-1'), 173.3 (C=O, C-1'', C-1'''), 169.0 (C=O, C-6), 150.1 (CH, C-12), 146.5 (C, C-8), 124.1 (C, C-13), 108.9 (CH₂, C-17), 79.3 (CH, C-3), 71.7 (CH, C-15), 67.6 (CH, C-14), 64.5 (CH₂, C-19), 55.8 (CH, C-9), 55.3 (CH, C-5), 41.3 (C, C-4), 38.9 (C, C-10), 37.8 (CH₂, C-7), 37.0 (CH₂, C-1), 25.1 (CH₂, C-11), 24.6 (CH₂, C-2), 24.2 (CH₂, C-6), 34.7 (CH₂, C-2'), 34.5 (CH₂, C-2''), 34.1 (CH₂, C-2'''), 22.6 (CH₃, C-18), 14.5 (CH₃, C-20), 14.1 (CH₃, C-16', C-16'', C-16'''); EIMS *m/z*: [M]⁺, 1064.8988, (calcd 1064.8983).

14-acetyl andrographolide: Yield 40%; white powder (CH₂Cl₂); mp 168.29°C (onset 163.65, endset 170.41°C, lit 168-170°C⁶); R_f 0.35, silica gel 60F₂₅₄, 5% methanol in CH₂Cl₂. IR (KBr): 3363, 1772, 1751, 1209, 1021cm⁻¹. ^1H NMR(CDCl₃): 7.00 (1H, *dt*, J=6.63, 0.39 Hz, H-12), 5.91(1H, *d*, J=5.5 Hz, H-14), 4.87(1H, *s*, H-17a), 4.49(1H, *s*, H-17b), 4.23(1H, *d*, J=10.9 Hz, H-15a), 4.16(1H, *d*, J=10.9 Hz, H-15b), 3.47(1H, *t*, J=7.03, H-3), 3.3(1H, *d*, J=8.2, H-19), 2.83 (2H, 2s), 2.11(3H, *s*, Ac), 1.25(3H, *s*, H-18), 0.66 (3H, *s*, H-20). ^{13}C NMR(CDCl₃): 170.5 (C, C=O(Ac)), 169.1(C, C-16), 150.5 (CH, C-12), 146.7 (C, C-8), 123.8 (C, C-13), 108.7 (CH₂, C-17), 80.4 (CH, C-3), 71.6 (CH₂, C-15), 67.7 (CH, C-14), 64.1 (CH₂, C-19), 55.8 (CH, C-9), 55.2 (CH, C-5), 42.8 (C, C-4), 38.8 (C, C-10), 37.7 (CH₂, C-1), 37.0 (CH₂, C-7), 28.1 (CH₂, C-2), 25.3 (CH₂, C-11), 23.7 (CH₃, C-18), 22.7 (CH₂, C-6), 20.7 (CH₃, Ac), 15.1 (CH₃, C-20). ESI MS *m/z*: 415.2106 [M+ Na]⁺.

14-monoacetyl-3,19-isopropylideneandrographolide: Yield 50%; amorphous powder (CH₂Cl₂), hygroscopic, mp 58-59 °C; R_f 0.8, silica gel 60F₂₅₄, 5% methanol in CH₂Cl₂. IR (KBr): 2937 (s), 1765, 1740(s), 1225(s), 1023cm⁻¹. ^1H NMR (CDCl₃): 7.02 (1H, *dt*, J=1.75 and 6.82 Hz, H-12), 5.92 (1H, *d*, J=6.16 Hz, H-14), 4.88 (1H, *s*, H-17a), 4.53 (1H, *s*, H-17b), 4.54 (1H, *dd*, J=6.16 and 11.43 Hz, H-15a), 4.23 (1H, *dd*, J=1.76 and 11.0 Hz, H-15b), 3.95 (1H, *d*, J=11.88 Hz, H-19a), 3.49 (1H, *dd*, J=3.96 Hz, H-3), 3.18 (1H, *d*, J=11.88 Hz, H-19b), 2.11(3H, *s*, Ac)1.86 (1H, *dd*, H-9),1.40 (3H, gem-Mt), 1.36 (3H, *s*, gem-Mt), 1.19 (3H, *s*, H-18), 0.93 (3H, *s*, H-20). ^{13}C NMR (CDCl₃): 170.5 (C, C=O (Ac)), 169.0 (C, C-16), 150.6 (CH, C-12), 147.1 (C, C-8), 123.8 (C, C-13), 108.9 (CH₂, C-17), 99.2 (C, spiro *i*-Pr), 76.1 (CH, C-3), 71.6 (CH, C-15), 67.8 (CH, C-14), 63.9 (CH₂, C-19), 55.8 (CH, C-9), 52.2 (CH, C-5), 38.3 (C, C4), 37.9 (C, C-10), 37.6 (CH₂ C-7), 34.5 (CH₂, C-1), 27.0 (CH₃, gem-Mt), 26.1 (CH₃, gem-Mt), 25.4 (CH₂, C-11), 25.27 (CH₃, C-18), 24.9 (CH₂, C-2), 23.1 (CH₂, C-6), 20.7 (CH₃, Ac), 16.1 (CH₃, C-20).

14-deoxy-11,12-didehydro-3,19-isopropylideneandrographolide: Yield: 83%; white powder (C_6H_{14} :EtOAc, 1:1), mp 61–63°C; Rf 0.59, silica gel 60 F₂₅₄, CH₂Cl₂/MeOH (95:5); IR: 2942, 1757, 1736, 1454, 1349, 1100, 1038, 981 cm⁻¹; ¹H NMR (CDCl₃, 400 MHz) δ_H: 7.16 (1H, s, H-12), 6.90 (1H, dd, J=10.1 Hz, H-11), 6.11 (1H, d, J=16.0 Hz, H-14), 4.81 (1H, d, J=1.6 Hz, H-15), 4.79 (1H, d, J=1.6 Hz, 17a), 4.55 (1H, d, J=1.6 Hz, 17b), 4.09 (1H, d, J=11.7 Hz, H-19a), 3.46 (1H, dd, J=4.7 Hz, H-3), 3.24 (1H, d, J=11.7 Hz, H-19b), 2.46 (1H, m, H-7a), 2.35 (1H, d, J=9.8 Hz, H-9), 2.06 (1H, m, H-7b), 2.06 (1H, m, H-6a), 1.73 (2H, m, H-2), 1.52 (1H, m, H-1a), 1.43 (3H, s, H-22), 1.37 (3H, s, H-23), 1.28 (3H, s, H-18), 1.25 (1H, m, H-6b), 1.21 (1H, m, H-1b), 1.12 (1H, m, H-5), 1.01 (3H, s, H-20); ¹³C NMR (CDCl₃, 400 MHz) δ_C: 172.2 (C, C-16), 148.3 (CH, C-8), 142.8 (C, C-12), 136.1 (CH₂, C-11), 129.3 (C, C-13), 121.2 (CH, C-14), 109.4 (CH₂, C-17), 98.4 (C, C-21), 78.4 (CH, C-3), 69.6 (CH₂, C-15), 63.4 (CH₂, C-19), 61.5 (CH, C-9), 53.1 (CH, C-5), 38.3 (C, C-4), 37.4 (C, C-10), 36.5 (CH₂, C-7), 36.5 (CH₂, C-1), 26.4 (CH₃, C-22), 25.7 (CH₃, C-23), 28.7 (CH₃, C-18), 26.0 (CH₂, C-2), 22.3 (CH₂, C-6), 16.3 (CH₃, C-20); EIMS *m/z*: [M+Na]⁺, 396.22, (calcd 396.2276).

3.1.3 Developing of HPLC method

สารที่มีคุณสมบัติต้านไวรัส HSV-1 ได้ค่าไดลูกนำมานิวิเคราะห์หาค่า partition coefficient ซึ่งจะต้องวิเคราะห์ปริมาณสารใน phase น้ำ และ oil

โปรแกรมแกรมของสารที่ (1)-(4) แสดงในรูปที่ 1 และ 2

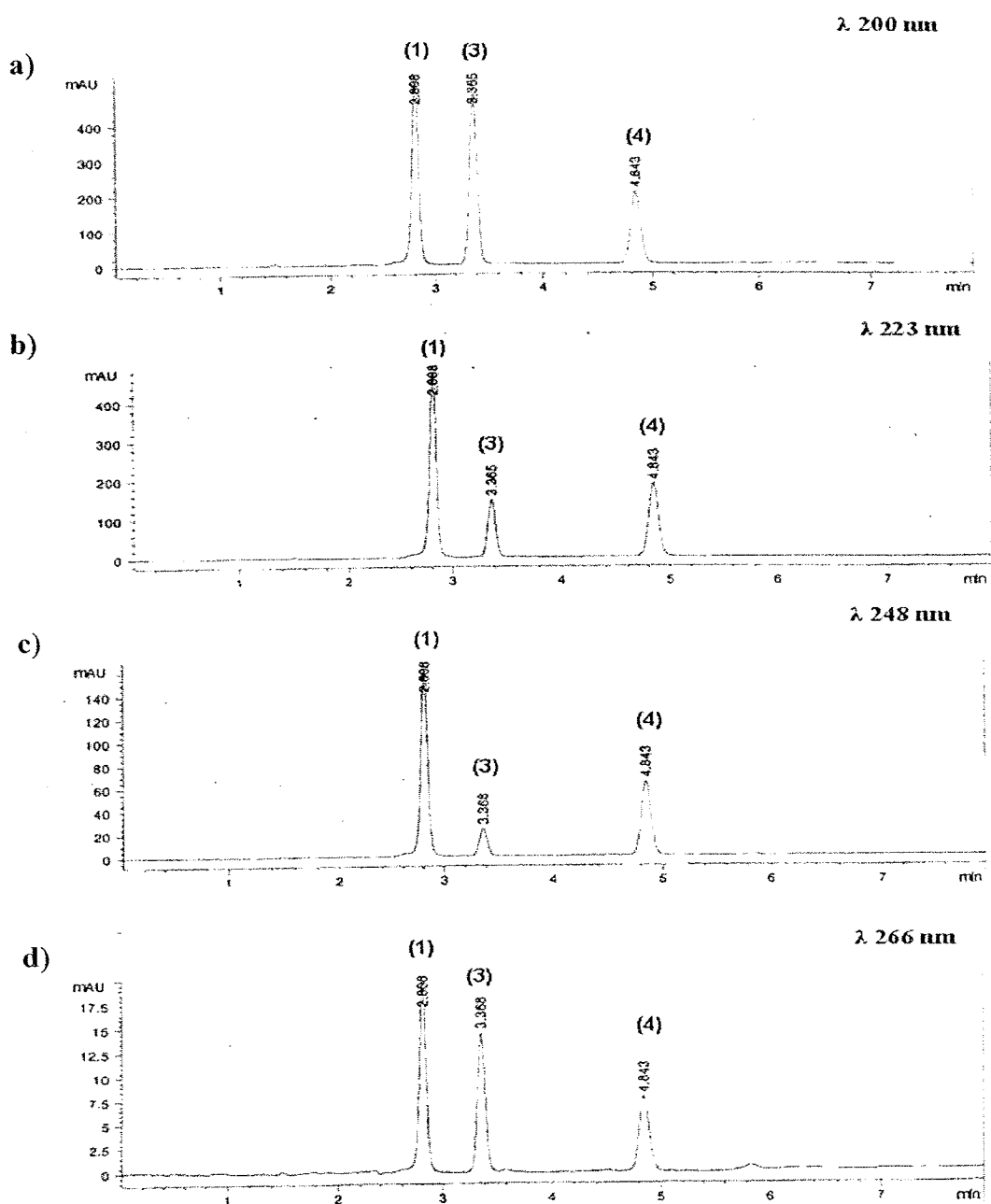
พารามิเตอร์ ของคุณสมบัติในการวิเคราะห์โดยวิธี ICH แสดงในตารางที่ 1 และ 2

3.1.4 Partition coefficient

ค่า partition coefficient ของสาร (1) - (4) ระหว่าง *n*-octanol และ phosphate buffer pH 7.4 แสดงในตารางที่ 3. ค่า partition coefficient ของสาร (1) มีค่าต่ำสุด คือ 43.0 ± 3.96 และของสาร(4) สูงสุด 1017.3 ± 7.51 .

ตารางที่ 1 Linearity and LOQ values of andrographolide (1), 14-deoxy-11,12-didehydroandrographolide (2), 14-deoxyandrographolide (3) and 3,19-isopropylideneandrographolide (4)

Comp.	Linearity ranges ($\mu\text{g.mL}^{-1}$)	Linearity Equations	R^2	R_t (min)	LOQ±S.D. ($\mu\text{g.mL}^{-1}$)
(1)	18.6-223.5	$y = 25189x - 38.763$	1.0000	2.81	4.72 ± 0.73
(2)	13.0-157.5	$y = 33521x - 44.753$	0.9995	3.36	4.24 ± 0.48
(3)	16.0-192.0	$y = 33205x - 41.832$	0.9998	3.39	4.18 ± 0.47
(4)	12.5-150.0	$y = 24051x - 47.659$	0.9999	4.84	5.21 ± 0.31



ກົມໍ້ 1 Chromatograms of compound (1), (3) and (4) with various wavelengths;
a) 200 nm, b) 223 nm, c) 248 nm and d) 266 nm.

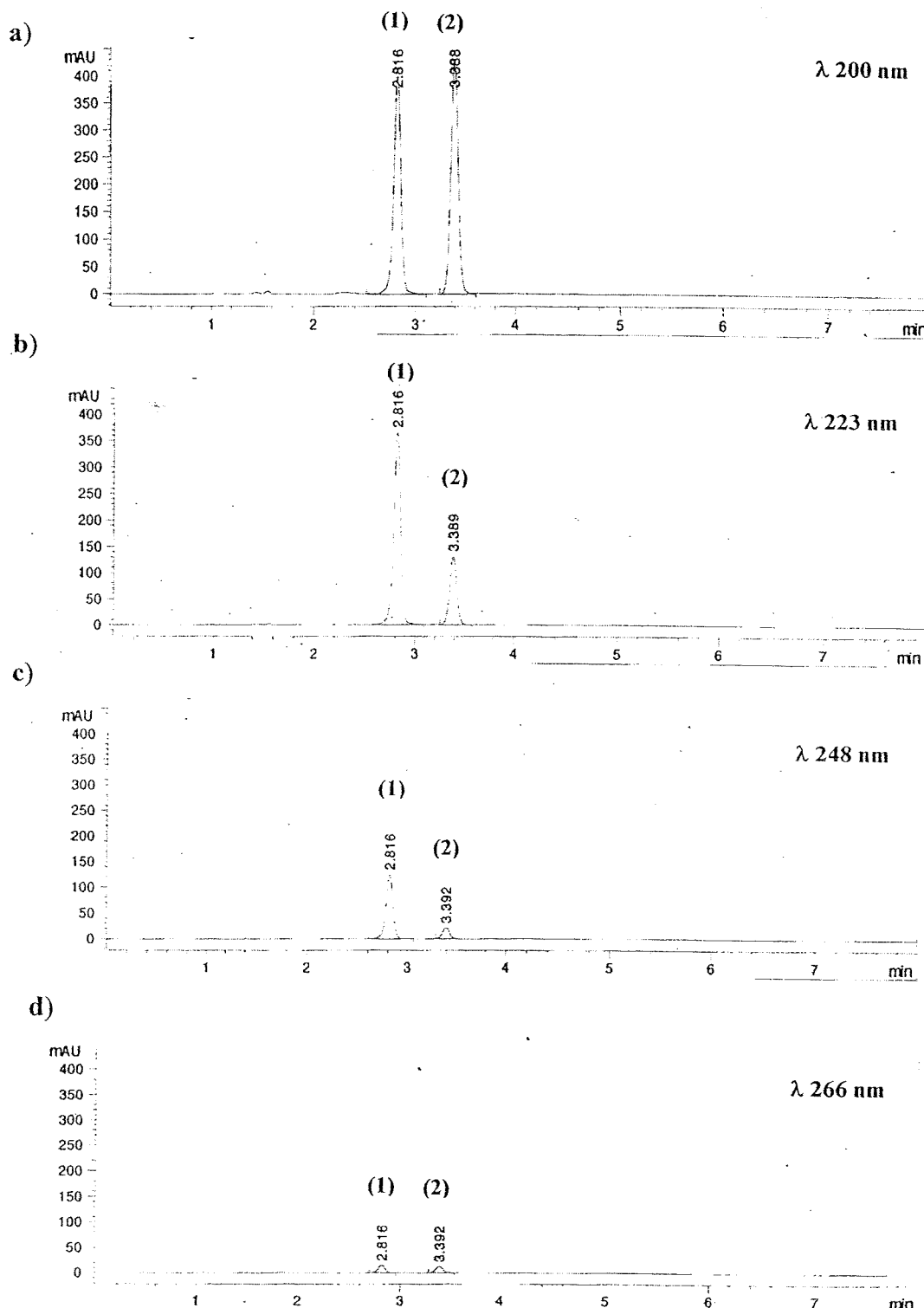


Fig. 2 Chromatograms of andrographolide (1) and 14-deoxy-11,12-didehydroandrographolide (2) at various wavelengths; **a)** 200 nm, **b)** 223 nm, **c)** 248 nm and **d)** 266 nm.

Table 2 Recoveries, Intra-day and Inter-days variations of andrographolide (1), 14-deoxy-11,12-didehydroandrographolide (2), 14-deoxyandrographolide (3) and 3,19-isopropylideneandrographolide (4)

Comp.	Amount comp. ($\mu\text{g.mL}^{-1}$)	Recovery (N=3)			Precision (N=6)	
		Amount added ($\mu\text{g.mL}^{-1}$)	Recovery (%R)	Mean \pm S.D. (%)	Intra-day (R.S.D.)	Inter-day (R.S.D.)
(1)	18.6	74.5	92.47	98.7 \pm 5.39	0.06	0.57
	74.5	74.5	102.33			
	223.5	74.5	101.18			
(2)	13.0	52.5	92.62	100.3 \pm 6.77	0.08	3.01
	52.5	52.5	105.49			
	157.5	52.5	102.69			
(3)	16.0	64.0	91.49	96.7 \pm 5.25	0.06	1.76
	64.0	64.0	102.00			
	192.0	64.0	96.59			
(4)	12.5	50.0	107.12	104.7 \pm 2.75	0.07	0.74
	50.0	50.0	101.71			
	150.0	50.0	105.24			

ตารางที่ 3 Partition coefficients of compounds (1) to (4).

Comp.	Column ratios (n-Octanol:Buffer)	Concentration in		$P_{O/B}$	$P_{O/B}$ (mean \pm R.S.D.)	Log $P_{O/B}$
		n-Octanol ($\mu\text{g/mL}$)	Buffer ($\mu\text{g/mL}$)			
(1)	1:1	1.620	0.0357	45.38	43.0 \pm 3.96	1.63
		1.472	0.0349	42.18		
	1:2	1.666	0.0386	43.16		
		1.340	0.0323	41.46		
(2)	1:1	1.799	0.0049	367.14	374.9 \pm 4.31	2.57
		1.773	0.0049	361.84		
	1:2	1.832	0.0046	398.26		
		1.824	0.0049	372.24		
(3)	1:1	2.272	0.0059	189.50	348.1 \pm 9.04	2.54
		1.901	0.0052	204.30		
	1:2	1.895	0.0060	190.10		
		1.857	0.0057	202.09		
(4)	1:1	1.6689	0.0016	34.63	1017.3 \pm 7.51	3.01
		1.6028	0.0015	31.43		
	1:2	1.5364	0.0017	36.28		
		1.7913	0.0017	47.16		

3.2 Biological Activity

3.2.1 Anti-HSV-1 ก่อนการทดสอบฤทธิ์ต้าน HSV-1 ได้ทำการหาความเข้มข้นที่ไม่เป็นพิษต่อเซลล์ เพื่อใช้เป็นความเข้มข้นที่จะหาฤทธิ์ต่อไป

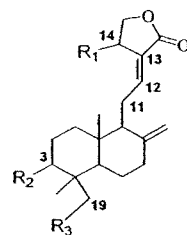
1. The cytotoxicity of andrographolide derivatives

ความเข้มข้นที่ไม่แสดงความเป็นพิษของแต่ละสาร แสดงในตารางที่ 4

2. Anti-HSV-1 activity in pre- and post-infection

นำสารทั้งสáามที่ความเข้มข้นไม่แสดงพิษมาทดสอบฤทธิ์ต้านการติดเชื้อมาทดสอบความสามารถในการต้านเชื้อ HSV-1 โดยการนำสารทดสอบมาบ่มกับ HSV-1 2000, 1000 และ 500 PFU/ml (หรือ 100, 50 และ 25 PFU/well) เป็นเวลา 10, 30 และ 60 นาที นำสารผสมที่ได้มาบ่มกับ cell และบ่มที่ 37°C เป็นเวลา 72 ชม ผลการทดลองแสดงดังรูปที่ 1-3 พบว่า SS3 ไม่มีผลต่อ pre incubation activity ในขณะที่ SS2 และ SS19 มีฤทธิ์ขึ้นอยู่กับระยะเวลาของการบ่ม และว่า S2 และ SS19 มีผลต่อเชื้อ HSV โดยตรง

ตารางที่ 4. สารที่ 1-11 และค่าความเป็นพิษต่อเซลล์ 50% (CC_{50})



Comp.	R ₁	R ₂	R ₃	Extra db ¹	Extra db ²	CC_{50}^a (μM)
1	OH	OH	OH			76.3
2	-	OH	OH	Δ ¹¹⁽¹²⁾	Δ ¹³⁽¹⁴⁾	243.4
3	-	OH	OH		Δ ¹³⁽¹⁴⁾	80.3
4	OH	O-	O-C(CH ₃) ₂			40.2
5	OCOCH ₃	O-	O-C(CH ₃) ₂			5.9
6	OCOCH ₃	OH	OH			6.6
7	OCOCH ₃	OCOCH ₃	OCOCH ₃			6.4
8	OH	OCO(CH ₂) ₁₄ CH ₃	OCO(CH ₂) ₁₄ CH ₃			4.2
9	OCO(CH ₂) ₁₄ CH ₃	OCO(CH ₂) ₁₄ CH ₃	OCO(CH ₂) ₁₄ CH ₃			122.1
10	-	OCO(CH ₂) ₁₄ CH ₃	OCO(CH ₂) ₁₄ CH ₃	Δ ¹¹⁽¹²⁾	Δ ¹³⁽¹⁴⁾	73.9
11	-	O-	O-C(CH ₃) ₂	Δ ¹¹⁽¹²⁾	Δ ¹³⁽¹⁴⁾	44.9

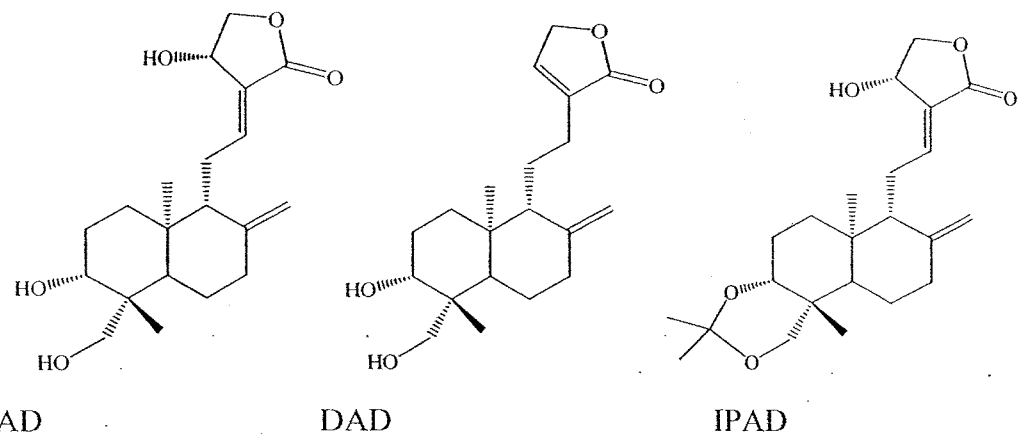
^aCytotoxicity CC_{50} value is the concentration corresponding to 50% viability of Vero cells, calculated by using a linear regression curve between substance concentration(s) (μM) and the percentage of cell viability.

ตารางที่ 5 ฤทธิ์ต้านไวรัส HSV-1 ก่อนและหลังเข้าไวรัสเซลล์

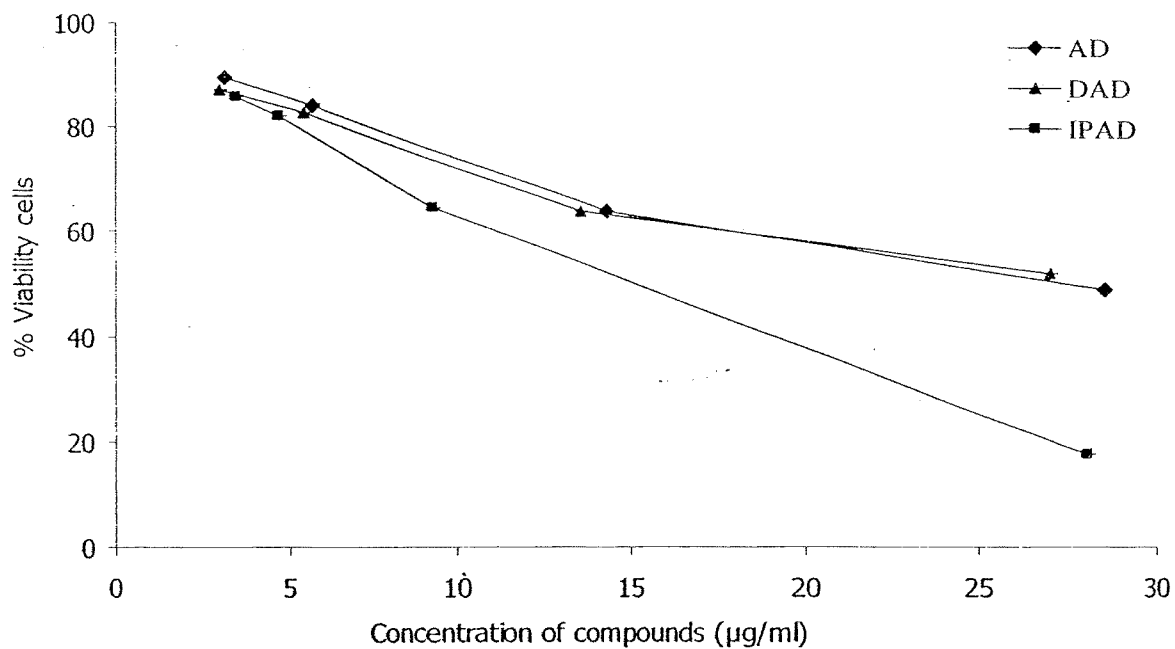
Comp	Tested Conc. (μM)	% inhibition			
		Pre-infection			Post-infection
		10 min	30 min	60 min	
1	16.28	5.75±5.86	11.49±7.78	34.5±11.94	56.9±4.88
2	10.01	4.31±0.71	17.24±6.08	23.56±6.66	83.33±2.08
3	16.16	8.86±1.41	16.46±6.08	27.60±2.99	52.9±10.95
4	11.96	18.97±9.29	25.86±1.00	44.83±4.88	100.0±0.00
5	1.59	96.12±0.58	98.06±0.58	99.03±0.58	79.61±0.00
6	2.02	98.06±1.15	100.0±0.00	100.0±0.00	61.17±1.15
7	1.05	99.23±0.58	100.0±0.00	100.0±0.00	55.56±3.79
8	1.20	90.29±0.58	92.72±2.12	97.09±0.00	69.90±1.53
9	6.46	97.09±1.00	97.09±0.00	99.03±0.58	75.24±0.71
10	15.77	24.14±1.41	25.85±0.00	39.08±5.13	82.76±2.65
11	9.54	36.78±0.71	77.01±1.41	88.51±1.41	79.31±0.00
*Control		100.0±0.00	100.0±0.00	100.0±0.00	100.0±0.00

*Dextran sulfate (1mg/mL) was used for a positive control in pre-infection inhibition;

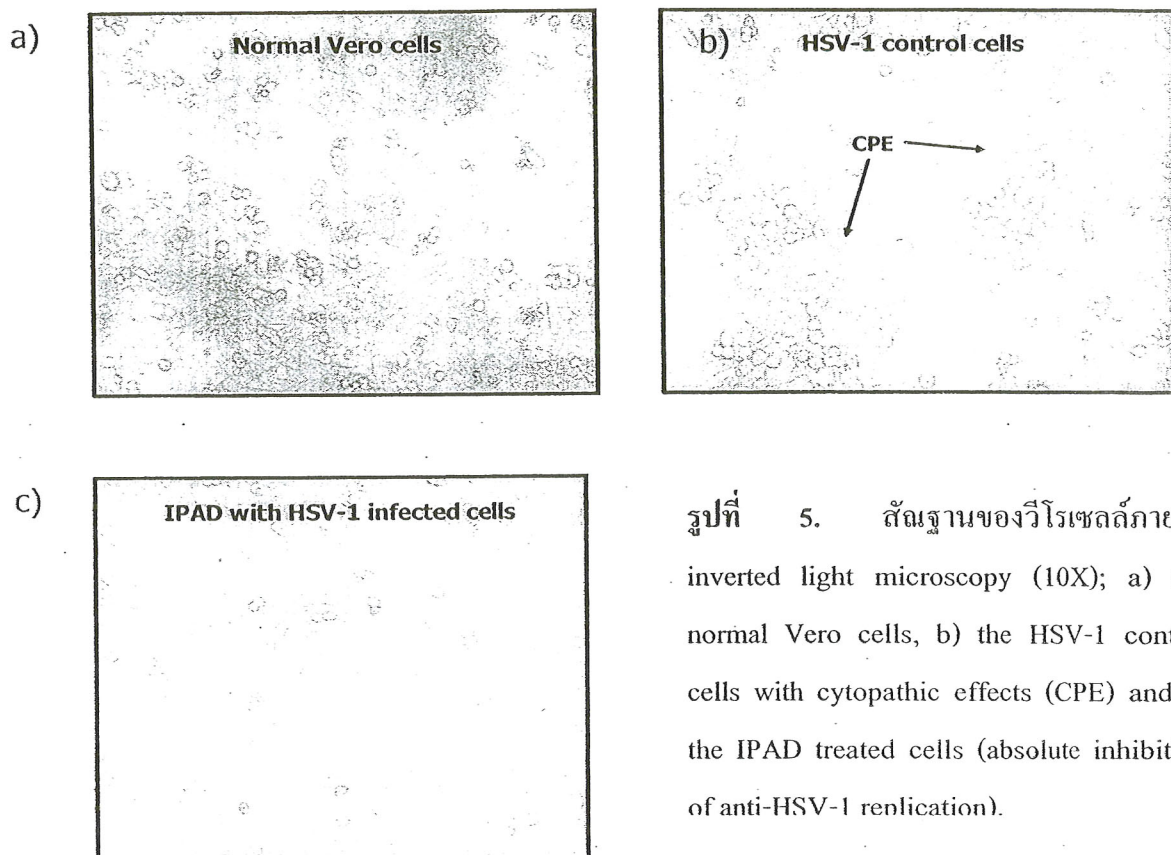
*ACV (5μg/mL) was used for a positive control in pre-infection inhibition



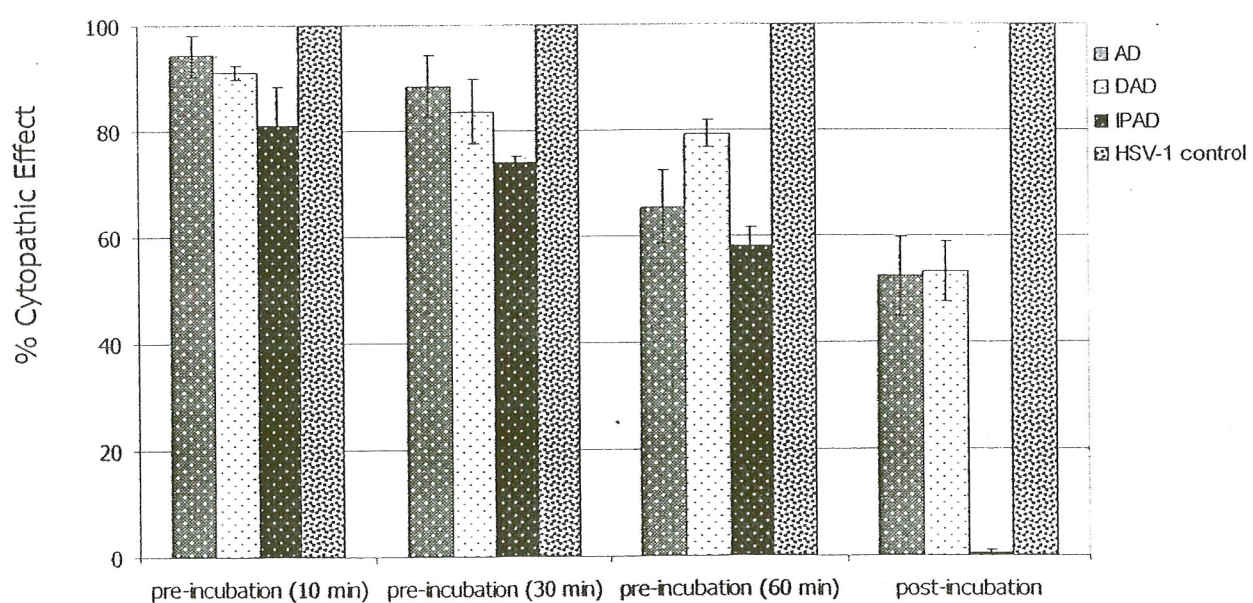
รูปที่ 3 สูตรโครงสร้าง andrographolide (AD), 14-deoxyandrographolide (DAD), และ 3,19-isopropylideneandrographolide (IPAD).



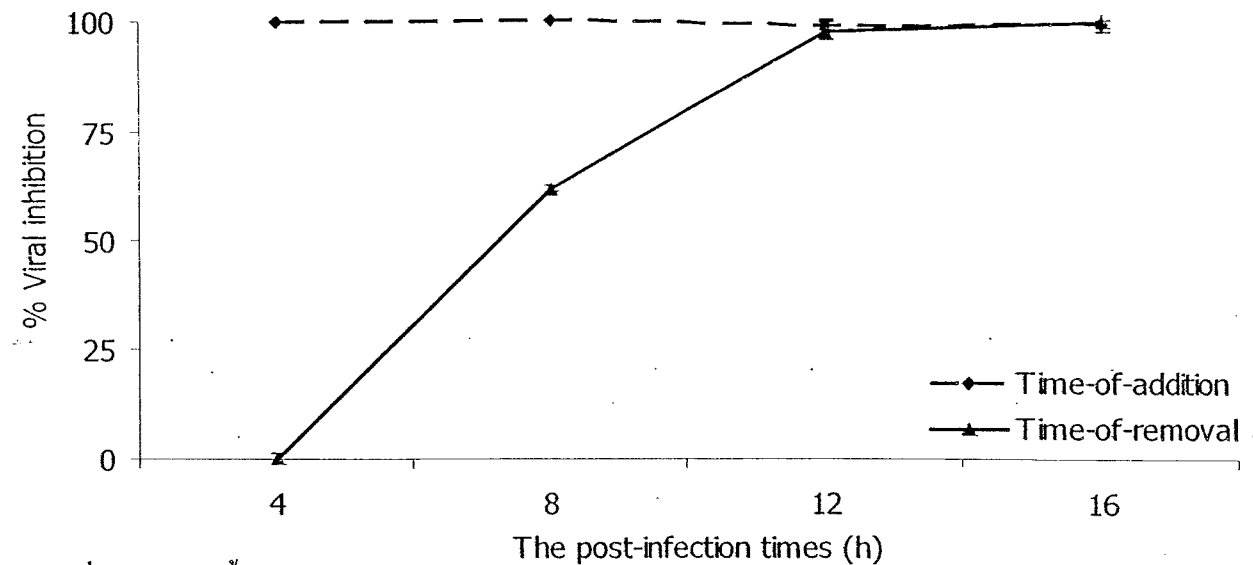
รูปที่ 4. กราฟแสดงความสัมพันธ์ระหว่างความเข้มข้นของสาร AD, DAD และ IPAD และเซลล์ที่ซึ่งมีชีวิตจากการน้ำมานาหาค่าความเข้มข้นที่เป็นพิษต่อเซลล์ 50% และที่ 20% เพื่อใช้เป็นความเข้มข้นในการทดสอบฤทธิ์ทางชีววิทยาต่อไป



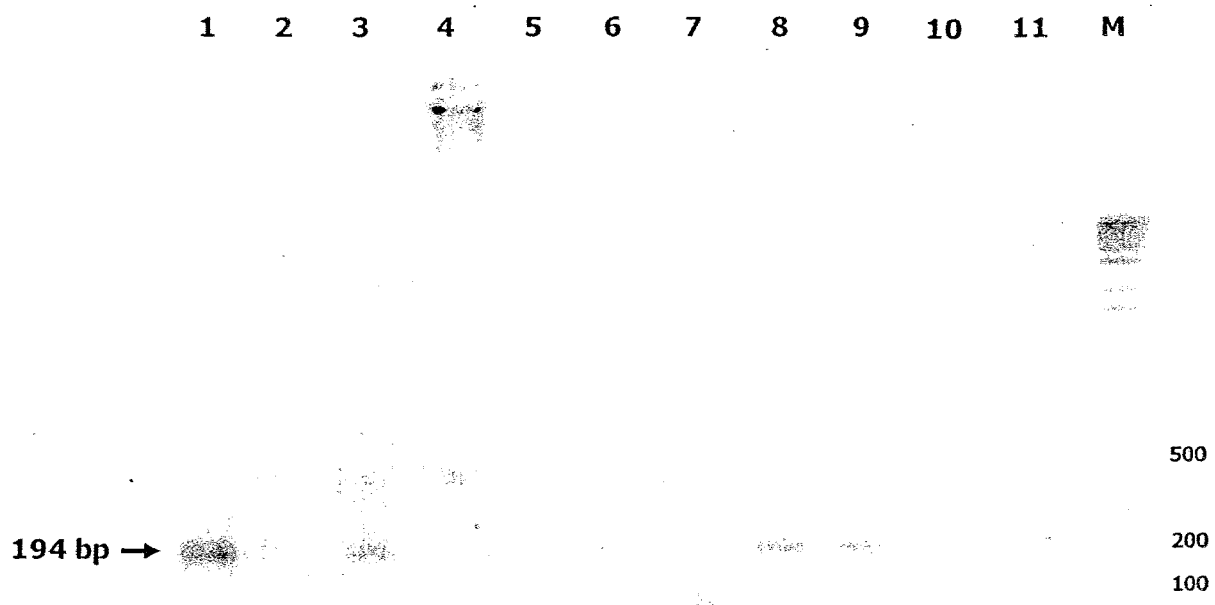
รูปที่ 5. สัมฐานของวีโรเซลล์ภายใต้ inverted light microscopy (10X); a) the normal Vero cells, b) the HSV-1 control cells with cytopathic effects (CPE) and c) the IPAD treated cells (absolute inhibition of anti-HSV-1 replication).



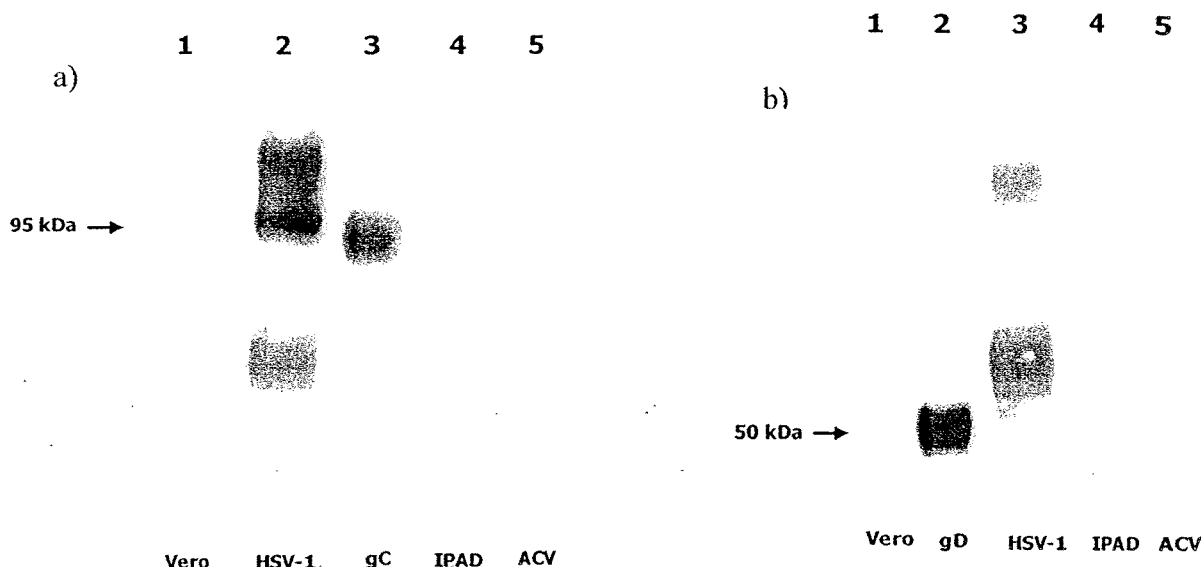
รูปที่ 6. ฤทธิ์การต้านเชื้อ ของ AD, DAD และ IPAD ก่อนและหลังการติด HSV-1 ของ วีโรเซลล์ จากการทดลองบ่มก่อนติดเชื้อ 10, 30 และ 60 นาทีสารทั้งสามมีฤทธิ์ไม่ถึง 100% ในขณะที่ IPAD ให้ผล 100% Dextran sulphate และ Acyclovir เป็น positive controls สำหรับ การบ่มก่อน และหลังการติดเชื้อตามลำดับ



รูปที่ 7. การยับยั้งการเจริญเติบโตของ HSV-1 ในไวรัสเซลล์ Time-of-addition (\blacktriangle) และ removal (\blacksquare) ของ IPAD ที่ 4, 8, 12 และ 16 h p.i. In the time-of-addition study, the HSV-1 were inhibited completely in all of the experiments. No inhibitory activity was observed at 4 h of time-of-removal, but the inhibitory effect improved to 100% at 12 and 16 h of time-of-removal.



รูปที่ 8. Effects of IPAD on HSV-1 DNA synthesis by using PCR. The HSV-1 DNA of the treated cells: lanes 1 and 3 were time-of-removal at 4 and 10 h p.i., and lanes 2 and 4 were time-of-addition at 4 and 10 h p.i.; lane 5 was the post-infection of IPAD after incubation with infected cells for 24 h p.i.; lane 6 was the ACV treated cells (positive drug control); lane 7 was normal Vero cells; lanes 8 to 10 were 1000, 500, 250 PFU/mL of HSV-1 treated cells, respectively; and lane 11 was blank control.



รูปที่ 9. Effects of IPAD on HSV-1 protein expression. The expression of viral gC (~95 kDa) and gD (~50 kDa) in the treated cells was evaluated by western blot analysis: a) lane1, normal Vero cells; lane2, HSV-1 infected cells; lane3, gC; lane4, IPAD treated cells; and lane5, ACV control cells; b) lane1, normal Vero cells; lane2 gD, lane3, HSV-1 infected cells, lane4 IPAD treated cells; and lane5, ACV control cells.

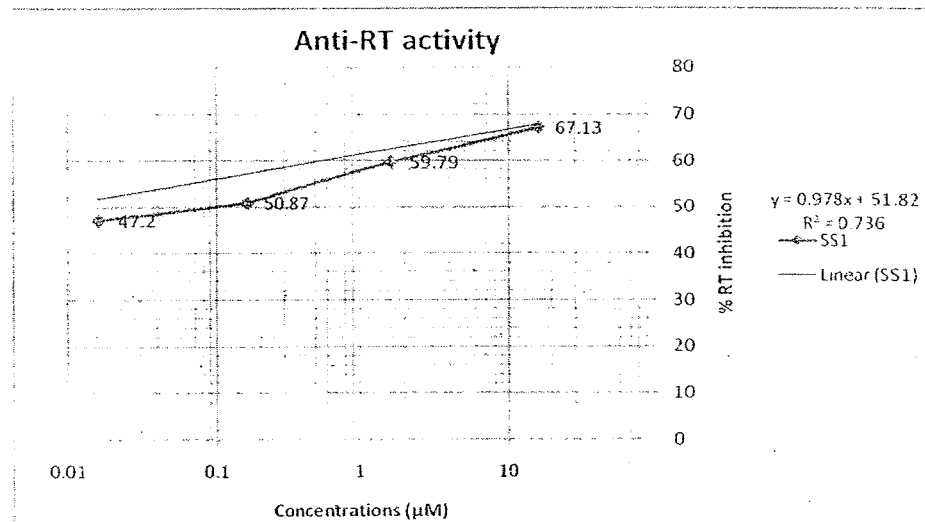
3.2.2 การทดสอบฤทธิ์การยับยั้งเอนไซม์ reverse transcriptase ของ HIV-1

เมื่อทำการทดสอบฤทธิ์ของสารสกัดสมุนไพรฟ้าทะลายโจร ต่อการยับยั้งเอนไซม์ reverse transcriptase ของ HIV-1 โดยใช้ RetroSys™ kit พบว่าที่ระดับความเข้มข้นเริ่มต้นของสารสกัดชนิด SS3, AND2, SS17, SS20B, SS34A, SS34B, SS40, SS53 มีฤทธิ์ยับยั้งเอนไซม์ reverse transcriptase ของ HIV-1 ได้น้อยกว่าร้อยละ 50 จึงไม่ได้คำนวณหาค่า IC₅₀

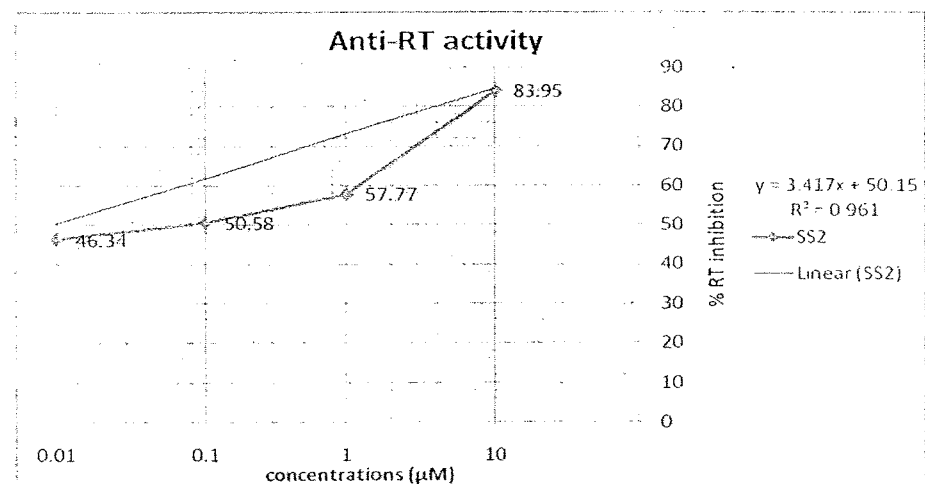
ส่วนสารสกัดชนิด SS1, SS2 และ SS39 ที่ความเข้มข้นเริ่มต้นสามารถยับยั้งเอนไซม์ reverse transcriptase ของ HIV-1 ได้ร้อยละ 67.13, 83.95 และ 72.44 ตามลำดับ และเมื่อเจือจางสารสกัดลงที่ละ 10 เท่า ทำให้ฤทธิ์ยับยั้งเอนไซม์ reverse transcriptase ของ HIV-1 ลดลงตามลำดับดังแสดงในตารางที่ 2 และรูปที่ 8-11

ตารางที่ 6 % RT inhibition ของสารสกัดชนิด SS1, SS2 และ SS39

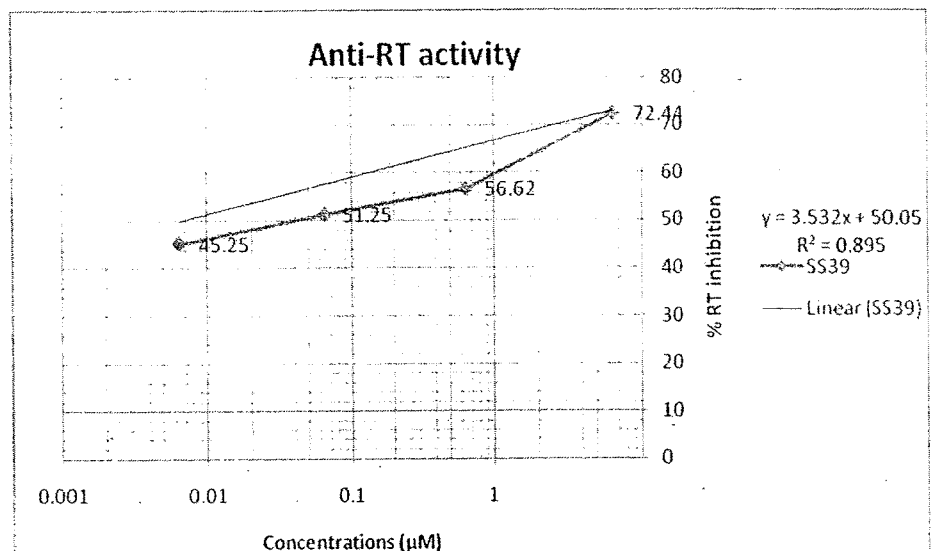
SS1		SS2		SS39	
Conc. (μ M)	% RT inhibition	Conc. (μ M)	% RT inhibition	Conc. (μ M)	% RT inhibition
16.28	67.13%	10.01	83.95%	6.46	72.44%
1.628	59.79%	1.001	57.77%	0.646	56.62%
0.1628	50.87%	0.1001	50.58%	0.0646	51.25%
0.01628	47.20%	0.01001	46.34%	0.00646	45.25%



รูปที่ 10 Anti-reverse transcriptase activity ของสารประกอบ SS1 ที่ความเข้มข้นระดับต่างๆ



รูปที่ 11 Anti-reverse transcriptase activity ของสารประกอบ SS2 ที่ความเข้มข้นระดับต่างๆ



รูปที่ 12 Anti-reverse transcriptase activity ของสารประกอบ SS39 ที่ความเข้มข้นระดับต่างๆ

ตารางที่ 7 ค่า CC_{50} , IC_{50} และ SI ต่อการขับยั้งเอนไซม์ reverse transcriptase ของ HIV-1

	SS1	SS2	SS39
CC_{50}^*	76.27 μM	243.45 μM	122.06 μM
IC_{50}	1.861 μM	0.044 μM	0.014 μM
SI	40.98	5,532.95	8,718.57

หมายเหตุ: CC_{50}^* ได้จากการทดสอบ cytotoxicity ของสารสกัดในเซลล์เพาะเลี้ยงชนิด vero cell line

3.2.3 ฤทธิ์ต้านจุลทรรศน์ของ andrographolide และ อนุพันธ์

ฤทธิ์ต้านจุลทรรศน์ของ andrographolide และอนุพันธ์บางตัวต่อ gram negative bacteria, *E. coli* ATCC 25922 และ *P. aeruginosa* ATCC 27853 แสดงในตารางที่ 8, SS19, SS20, SS34, SS36 และ SS37 มีผลต่อ activity against *S. aureus* ATCC 25923, *E. faecalis* ATCC 29212 และ *B. subtilis* ATCC 6633 เนื่องจาก SS19 ให้ผลคือที่สุดดังนั้นจึงนำมาศึกษา site of action ต่อ สัณฐานของ *B. subtilis* ATCC 6633

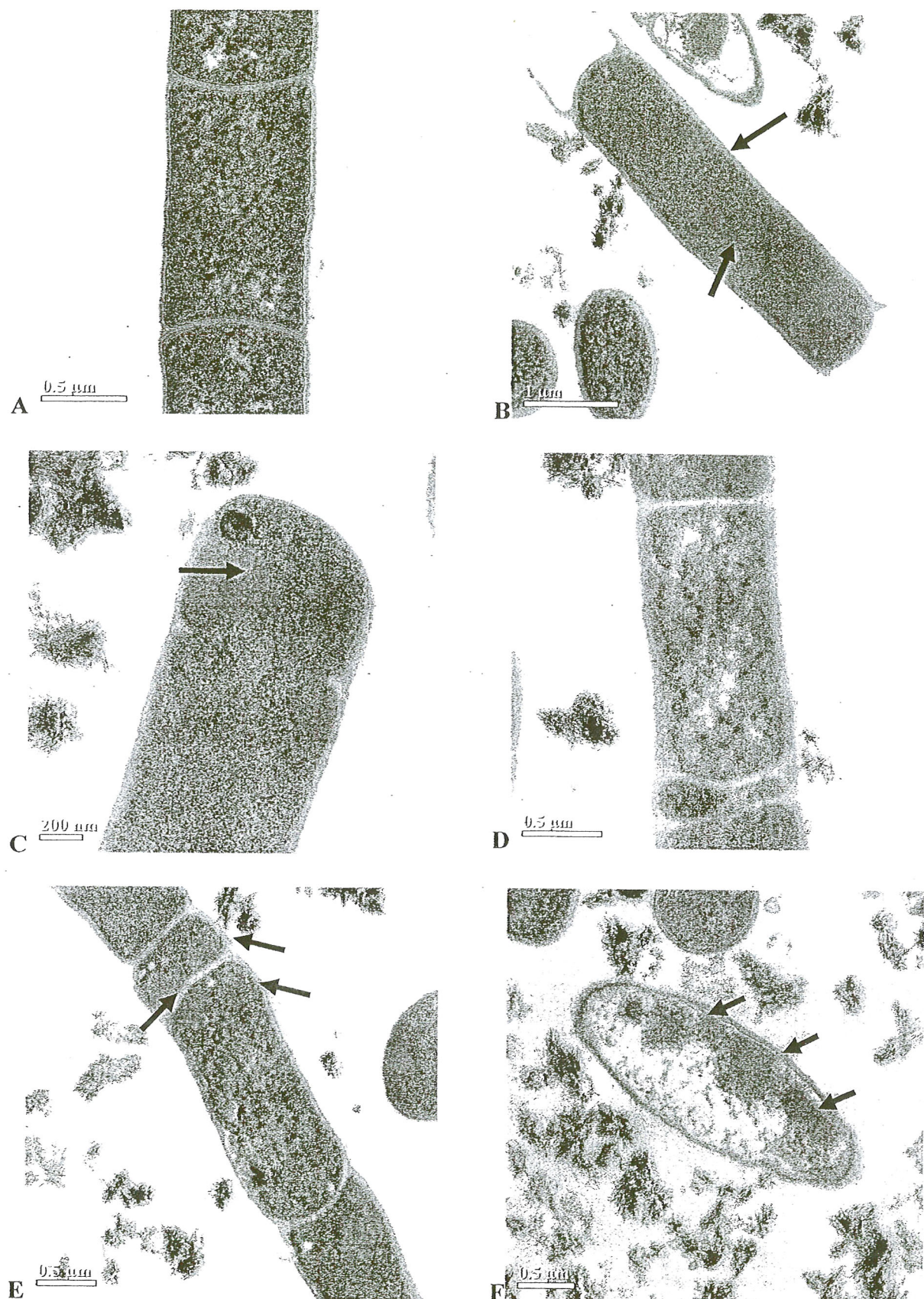
ตารางที่ 8 Activity of andrographolide and andrographolide analogues on various organisms.

Sample		<i>S. aureus</i>	<i>E. faecalis</i>	<i>B. subtilis</i>	<i>E. coli</i>	<i>P. aeruginosa</i>	<i>C. albicans</i>
SS1	MIC (μM)	I	I	I	I	I	I
	MBC (μM)	I	I	I	I	I	I
SS2	MIC (μM)	I	I	I	I	I	I
	MBC (μM)	I	I	I	I	I	I
SS3	MIC (μM)	I	I	I	I	I	I
	MBC (μM)	I	I	I	I	I	I
SS19	MIC (μM)	62.5	125	31.25	I	I	I
	MBC (μM)	62.5	125	31.25	I	I	I
SS20	MIC (μM)	125	62.5	250	I	I	I
	MBC (μM)	125	62.5	250	I	I	I
SS30	MIC (μM)	I	I	I	I	I	I
	MBC (μM)	I	I	I	I	I	I
SS34	MIC (μM)	250	1,000	62.5	I	I	I
	MBC (μM)	250	1,000	62.5	I	I	I
SS36	MIC (μM)	1,000	*	1,000	I	I	I
	MBC (μM)	1,000	*	1,000	I	I	I
SS37	MIC (μM)	250	*	125	I	I	I
	MBC (μM)	250	*	125	I	I	I
SS39	MIC (μM)	I	I	I	I	I	I
	MBC (μM)	I	I	I	I	I	I
SS40	MIC (μM)	I	I	I	I	I	I
	MBC (μM)	I	I	I	I	I	I
Amp	MIC (μM)	0.3125	5	80	ND	ND	ND
	MBC (μM)	0.3125	5	80	ND	ND	ND

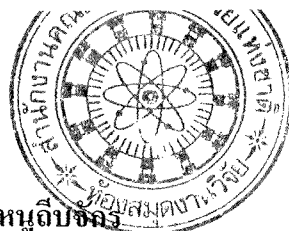
I = Inactive; ND = Non-determined, *Need to be confirmed, *Staphylococcus aureus* ATCC 25923

Enterococcus faecalis ATCC 29212; *Bacillus subtilis* ATCC 6633; *Escherichia coli* ATCC 25922

Pseudomonas aeruginosa ATCC 27853; *Candida albicans* ATCC 90028



รูปที่ 13. Transmission electron micrographs showing effects of compound (5) on morphogenesis of *B. subtilis* ATCC6633. Untreated cells (A). Cells after treating with compound (4) at 125 μ M (4 x MIC) for 4 h (B-F). Abnormal cytoplasmic aggregates (B, C, E, F, arrow). Elongated cells (B-E). Abnormal polar septation (C-E).

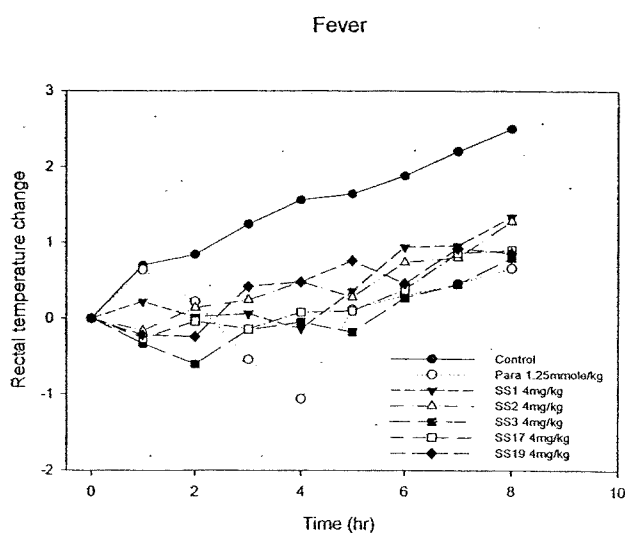


3.3 ผลการทดสอบฤทธิ์ทางเภสัชวิทยา

3.3.1 ทดสอบ antipyretic effect โดยการใช้ yeast-induced pyresis ในหนูเล็บคลุก

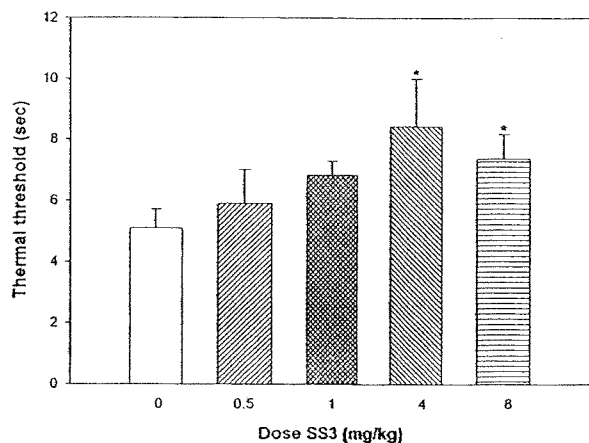
ในทำการทดลองสาร (4 mg/kg) เปรียบเทียบกับ ตัวทำละลาย และ paracetamol 125 mmole/kg

โดยใช้หนู 5 ตัวในแต่ละกลุ่มพบว่า สารทุกตัวมีฤทธิ์ antipyretic แต่น้อยกว่า paracetamol

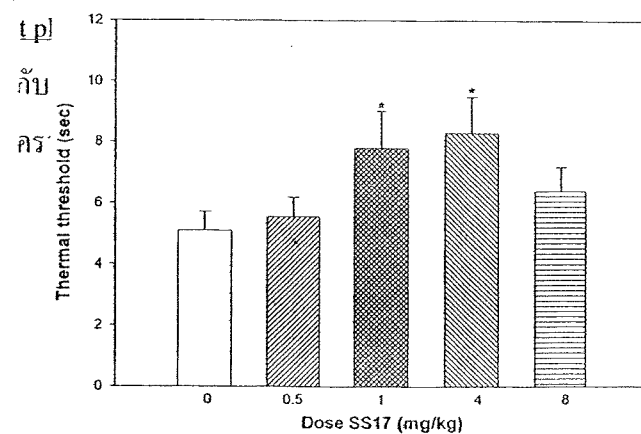


รูปที่ 14 ผลของ 5%DMSO (control), paracetamol (1.25 mmole/kg), SS1, SS2, SS3, SS17 และ SS19 ในขนาด $4 \text{ มิลลิกรัม/กิโลกรัม}$ ต่ออุณหภูมิร่างกายทางทวารหนักของหนูขาว 2 ชั่วโมงหลังฉีด baker yeast

Hot Plate Test



Hot Plate Test



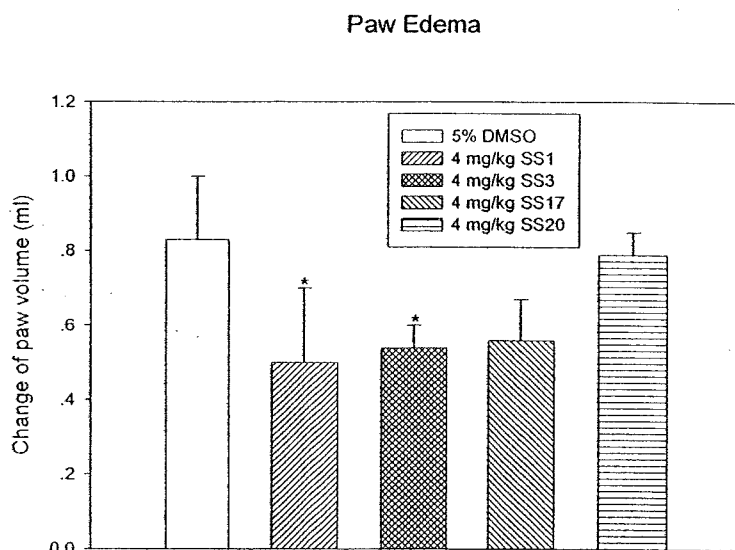
รูปที่ 15 กราฟแสดงผลของ SS3 (A) และ SS17 (B) ในขนาด 0, 1, 4 หรือ 8 มิลลิกรัม/กิโลกรัมในการตอบสนองต่อตัวกระตุน (ความร้อน) ใน Hot Plate Test

3.3.2. ทดสอบฤทธิ์ลดปวดทั้งใน hot plate และ tail flick test ในหนูเคนจักร

ทำการทดลองสาร ((4 mg/kg)) เปรียบเทียบกับ ตัวทำละลาย และ paracetamol 125 mmole/kg โดยโดยใช้หนู 5 ตัวในแต่ละกลุ่ม พบว่า อนุพันธ์ที่สังเคราะห์และ andrographolide มีฤทธิ์ต้านความเจ็บปวด (Tail Flick Test และ hot plate test) รูปที่ 3

3.3.3 การทดสอบฤทธิ์ต้านการอักเสบ

สาร SS1 และ SS3 สามารถลดปริมาตรเท้าของหนูขาวที่ทำให้อักเสบ (บวม) จากการฉีดด้วย carrageenan ได้ อย่างมีนัยสำคัญเมื่อเปรียบเทียบกับกลุ่มที่ได้รับ 5% DMSO ที่เวลา 3 ชั่วโมงหลังฉีดด้วย carrageenan (รูปที่ 7) ถึงแม้ว่ากลุ่มที่ได้รับ SS17 จะมีการลดลงของปริมาตรเท้าแต่ก็ไม่พนความแตกต่าง ทางสถิติ ส่วน SS20 ไม่พนผลต้านการอักเสบในขนาดที่ใช้ทดสอบ



รูปที่ 16 ผลของ 5% DMSO หรือ สาร SS1, SS3, SS17 หรือ SS20 ในขนาด 4 มิลลิกรัม/กิโลกรัม ที่มีต่อขนาดเท้าของหนูขาวที่เวลา 3 ชั่วโมงหลังทำให้เท้าบวมด้วย carrageenan

3.3.4 Toxicity ทดลองสาร 8 mg/kg (double dose for pain) โดยใช้หนู 5 ตัวในแต่ละกลุ่ม พบว่า ขนาดที่ให้ 2 เท่าของขนาดที่ให้แก่ไข ไม่มี acute toxicity

3.3.5 การทดสอบฤทธิ์ลดภาวะซึมเศร้า (antidepressive effect) ในหนูเคนจักร

จากการทดลองไม่พนฤทธิ์ต้านภาวะซึมเศร้าของสาร SS3 หรือ SS17 ในขนาด 0.5, 1, 4 หรือ 8 มิลลิกรัม/กิโลกรัม เมื่อให้โดยการฉีดเข้าช่อง

3.3.6 การทดสอบฤทธิ์ลดความวิตกกังวล (anxiolytic effect) ของสารในหนูเคนจักร

จากการทดลองไม่พนฤทธิ์ลดความวิตกกังวลของสาร SS3 หรือ SS17 ในขนาด 0.5, 1, 4 หรือ 8 มิลลิกรัม/กิโลกรัม เมื่อให้โดยการฉีดเข้าช่อง

3.3.7 การทดสอบฤทธิ์ของ SS17 ที่มีต่อความ aggressive ของหนูเคนจักรเพศผู้

จากการทดลองพบว่าการให้สาร SS17 ในขนาด 8 มิลลิกรัม/กิโลกรัม ทางเข้าช่องไม่มีผลเปลี่ยนแปลงพฤติกรรมทางด้านความก้าวร้าวของหนูถือจักรเพศผู้

นอกจากนี้ยังไม่พบการเปลี่ยนแปลงของอวัยวะต่างเมื่อตรวจสอบด้วยตาเปล่า

3.3.8 การทดสอบฤทธิ์ของ SS1, SS2 และ SS17 ที่มีต่อพฤติกรรมทางเพศของหนูถือจักรเพศผู้

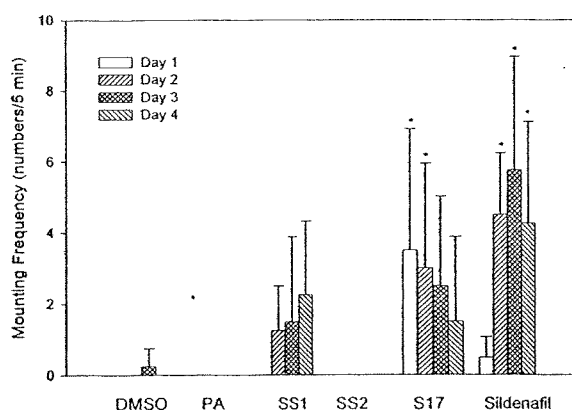
ผลการทดลองพบว่า PA (สารที่ใช้ในปฏิกริยาการสั่งเคราะห์อนุพันธ์ของ SS1) และ SS2 ไม่มีผลต่อพฤติกรรมทางเพศของหนูถือจักรเพศผู้

หนูที่ได้รับ sildenafil ทุกวัน ๆ ละ 5 มิลลิกรัม/กิโลกรัม พบร่วมหาวันที่ 2-4 ของการทดลองหนูมีการเพิ่มขึ้นของ mounting frequency อย่างมีนัยสำคัญทางสถิติเมื่อเปรียบเทียบกับกลุ่มควบคุม

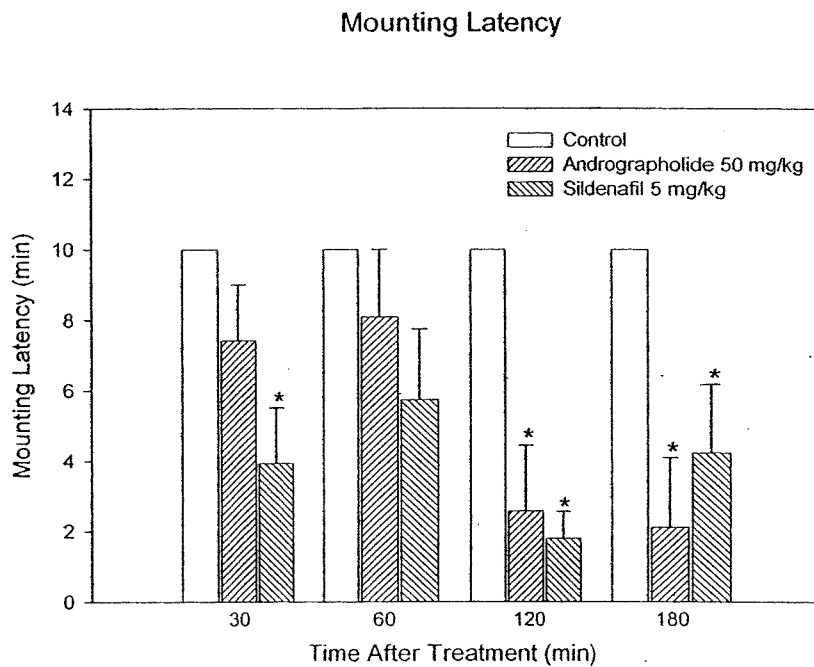
การได้รับ SS1 ขนาด 50 มิลลิกรัม/กิโลกรัมเข้าทางช่องท้องเพียง 1 ครั้ง สามารถเพิ่ม mounting frequency ได้ในวันที่ 2-4 อย่างไรก็ตามยังไม่พบความแตกต่างทางสถิติเมื่อเปรียบเทียบกับกลุ่มควบคุม

การได้รับ SS17 ขนาด 50 มิลลิกรัม/กิโลกรัมเข้าทางช่องท้องเพียง 1 ครั้ง สามารถเพิ่ม mounting frequency ได้ในตั้งแต่วันที่ 1-4 อย่างไรก็ตามพบว่าการเพิ่มขึ้นของ mounting frequency ในวันที่ 1 และ 2 ของการทดลองมีความแตกต่างอย่างมีนัยสำคัญทางสถิติเมื่อเปรียบเทียบกับกลุ่มควบคุม ดูรูปที่ 8

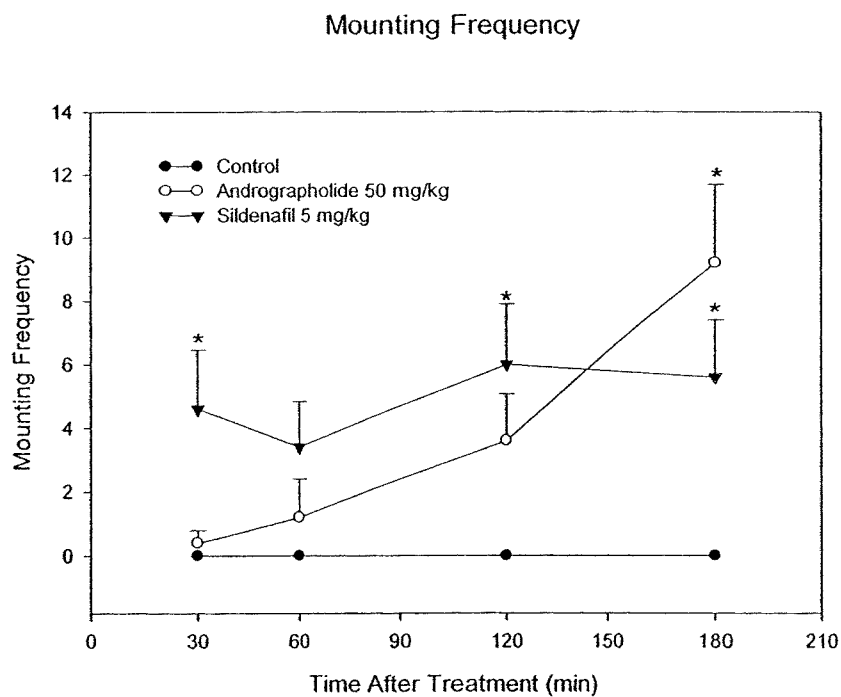
เมื่อให้สารเอนโดรกราฟไฟไลด์โดยการป้อนในขนาด 50 มก./กก. 1 ครั้ง และทำการสังเกตพฤติกรรม mounting latency และ mounting frequency หลังให้สาร 30, 60, 120 และ 180 นาที ผลปรากฏว่าหลังจากป้อนสาร 120 นาทีเป็นต้นไป สัตว์ทดลองที่ได้รับสารเอนโดรกราฟไฟไลด์มีพฤติกรรมทางเพศสูงที่สุดและแตกต่างอย่างมีนัยสำคัญ โดยเห็นได้ทั้งการลดลงของ mounting latency และการเพิ่มขึ้นของ mounting frequency



รูปที่ 17 ผลของ SS1, SS2, SS17 และ Sildenafil ต่อ mounting frequency



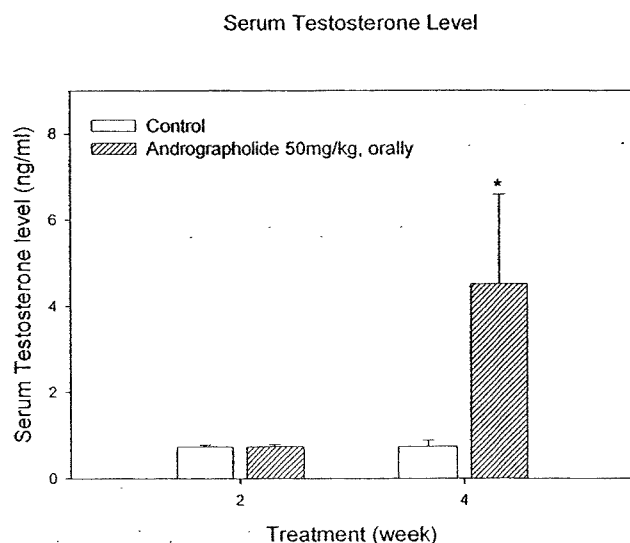
รูปที่ 18 ผลของ 50 mg/kg andrographolide ต่อ mounting latency ของหนูเพศผู้ เมื่อให้ ทางปาก เมื่อเทียบ กับ negative control (5% DMSO), และ 5 mg/kg sildenafil ซึ่งเป็น positive control



รูปที่ 19 ผลของ 50 mg/kg andrographolide ต่อ mounting frequency ของหนูเพศผู้ เมื่อให้ ทางปาก เมื่อ เทียบกับ negative control (5% DMSO), และ 5 mg/kg sildenafil ซึ่งเป็น positive control

3.3.9 การทดสอบฤทธิ์ต่อปริมาณสเปร์ม การเคลื่อนที่ของสเปร์มและระดับของฮอร์โมนแทกโนสเตอ โรน เมื่อให้สารแบบต่อเนื่อง

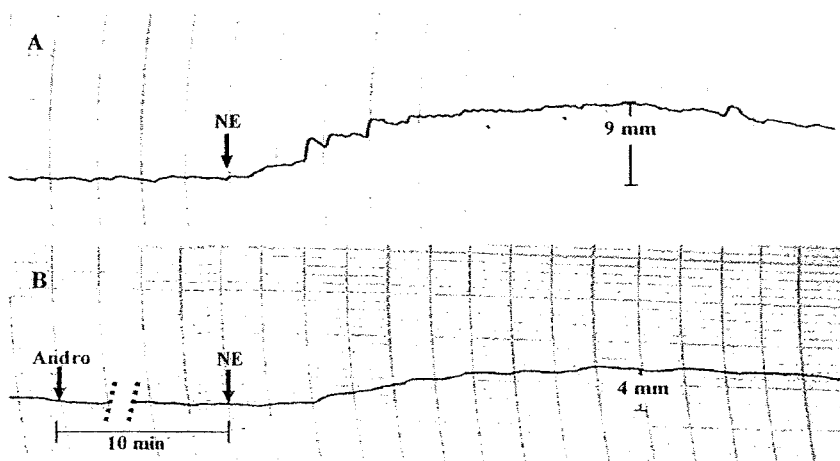
เมื่อศึกษาฤทธิ์ของสารแอนโครกราฟไอล์ดต่อระดับฮอร์โมนเทสโทสเตอโรนในกระแสเลือด โดยการป้อนผงของพืชทั่วไปที่มีขนาดของสารแอนโครกราฟไอล์ดเท่ากัน 50 มิลลิกรัม/กิโลกรัม เป็นเวลา 2, 4, 6 และ 8 สัปดาห์ พบร่วมกับระดับของฮอร์โมนเทสโทสเตอโรนสูงขึ้นอย่างมีนัยสำคัญในสัปดาห์ที่ 4 และลดลงในสัปดาห์ที่ 6 และ 8 และจากการทดลองไม่พบว่าจำนวนและการเครื่องอ่อนที่ของสเปร์มลดลง



รูปที่ 20 ผลของ andrographolide ต่อระดับ testosterone ในหนูเพศผู้ เมื่อเทียบกับ negative control (5% DMSO)

3.3.10 การทดสอบฤทธิ์ต่อหลอดเลือด

เมื่อทดสอบฤทธิ์ของสารแอนโครกราฟไอล์ดต่อหลอดเลือด โดยการเติมสารแอนโครกราฟไอล์ด (0.2 มิลลิกรัม/มิลลิลิตร) ลงไว้ใน organ bath ที่มีหลอดเลือด (aortic strip) ของหนูแรทนานาชủngสาย เป็นเวลา 10 นาที ก่อนที่จะเติมนorepinephrine (0.15 นาโนกรัม/มิลลิลิตร) พบร่วมกับสารแอนโครกราฟไอล์ดสามารถลดการหดตัวของหลอดเลือดที่เกิดจากฤทธิ์ของ norepinephrine ได้



รูปที่ 21 ผลของ 0.15 ng/ml norepinephrine (NE) ต่อ aortic strip ของหนู rat เมื่อมีการ preincubate กับ 0.2 mg/ml andrographolide (Andro) 10นาที